

FIG. 2A

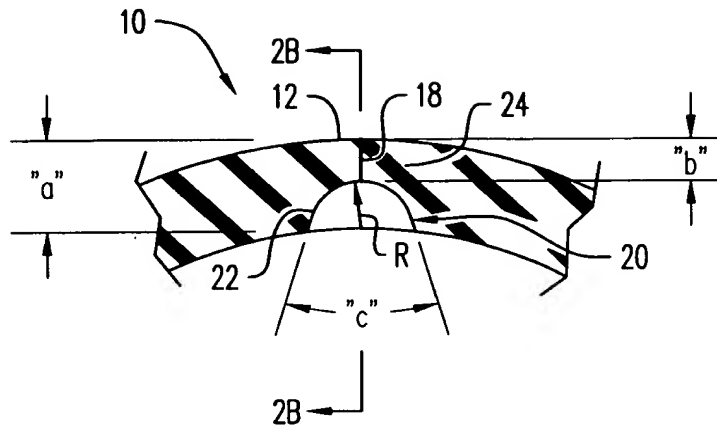


FIG. 2B

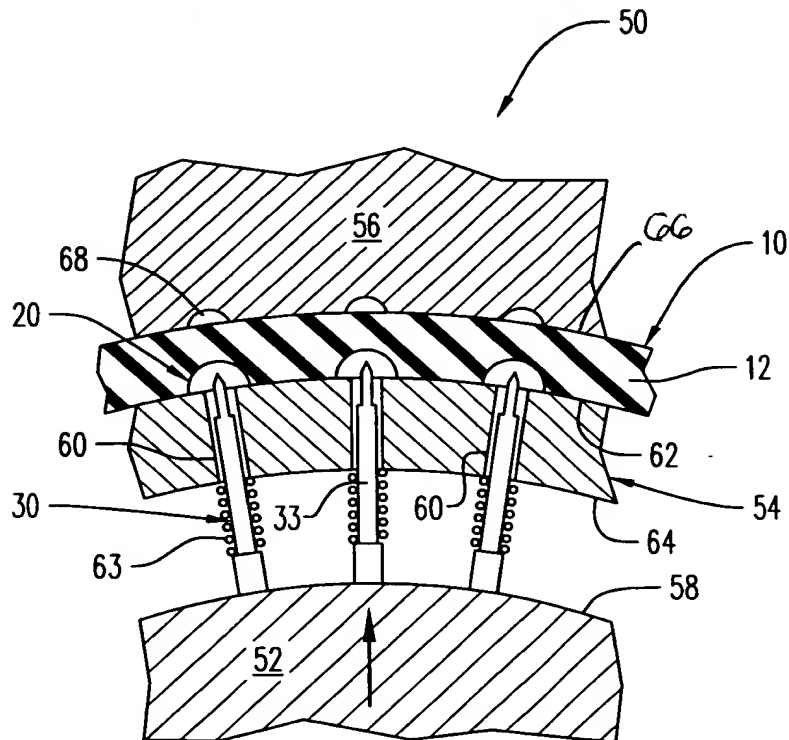
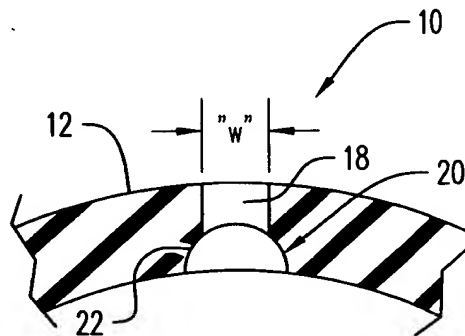


FIG. 4



COPIES OF PAPERS
ORIGINALLY FILED

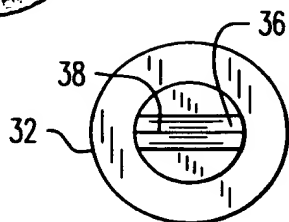


FIG. 3B

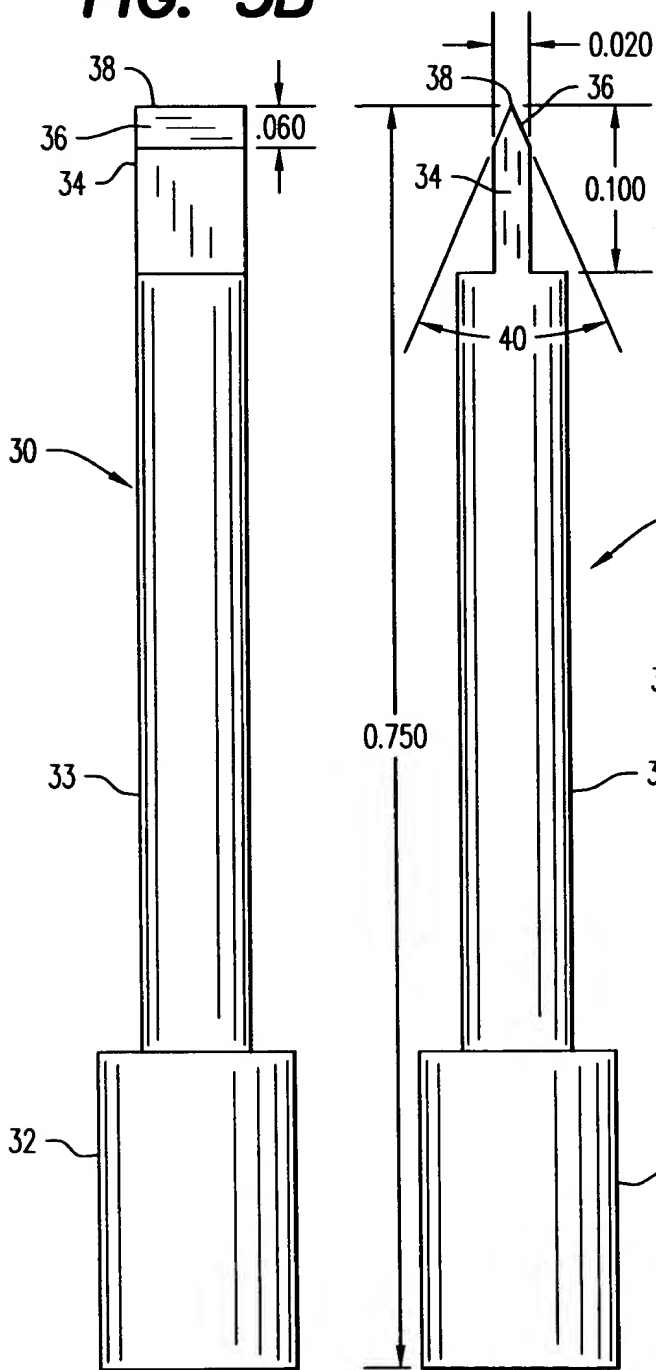


FIG. 3

FIG. 3A

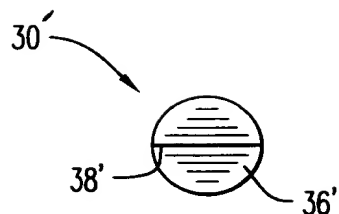


FIG. 3D

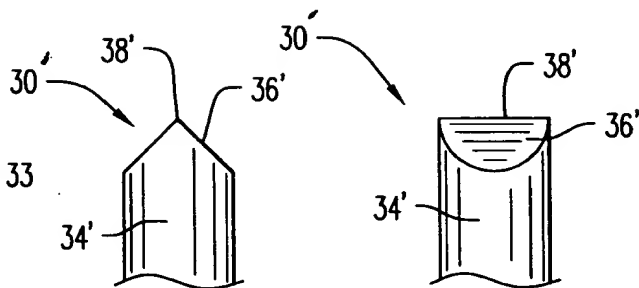


FIG. 3E

FIG. 3C



COPY OF PAPERS
ORIGINALLY FILED

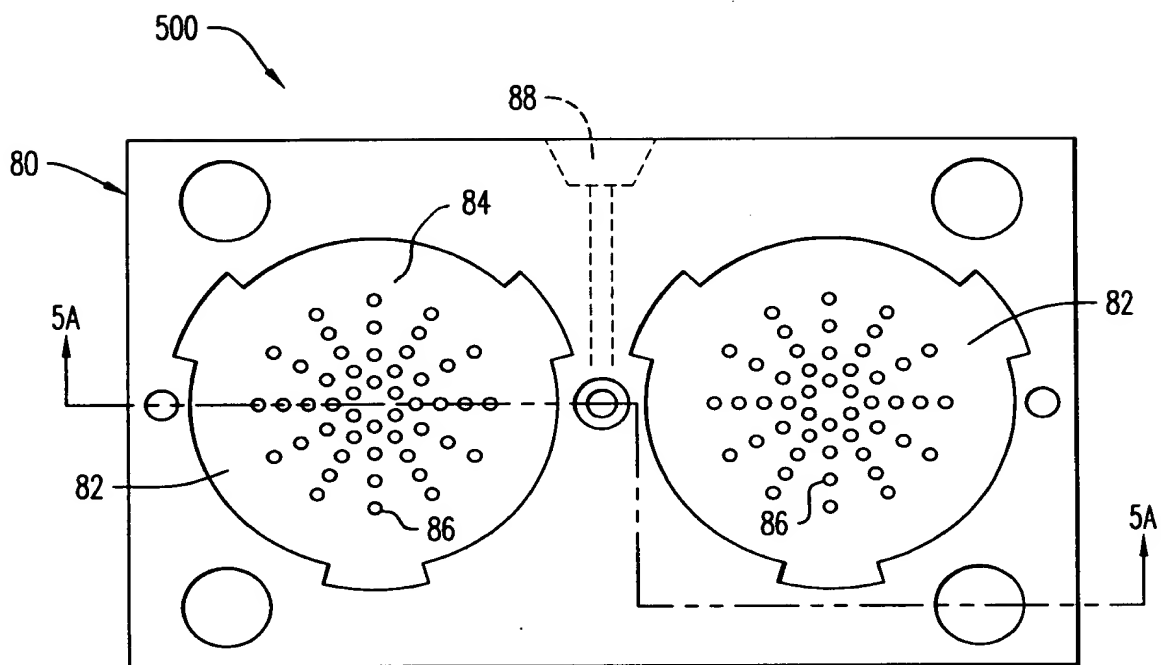


FIG. 5

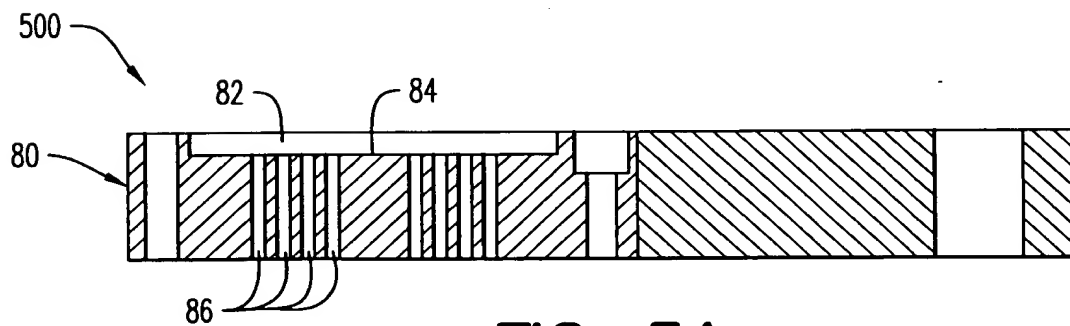


FIG. 5A

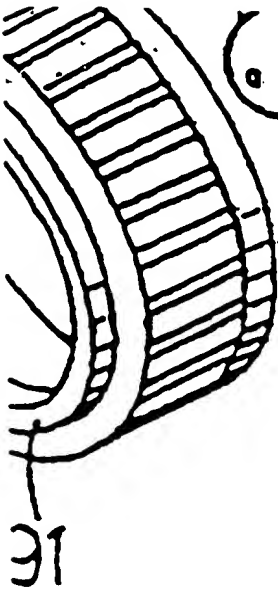


FIG. 17

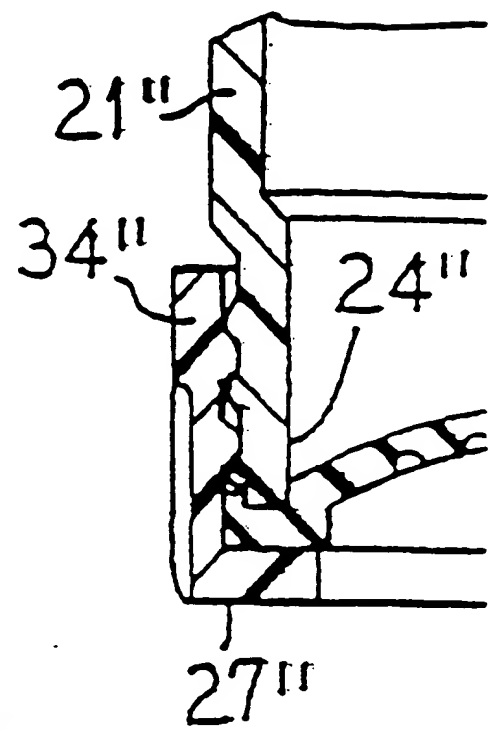


FIG. 15

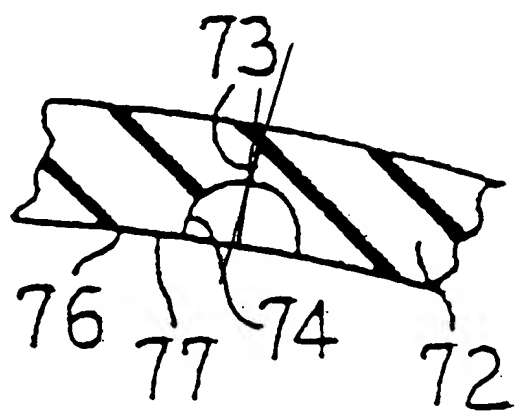


FIG. 19

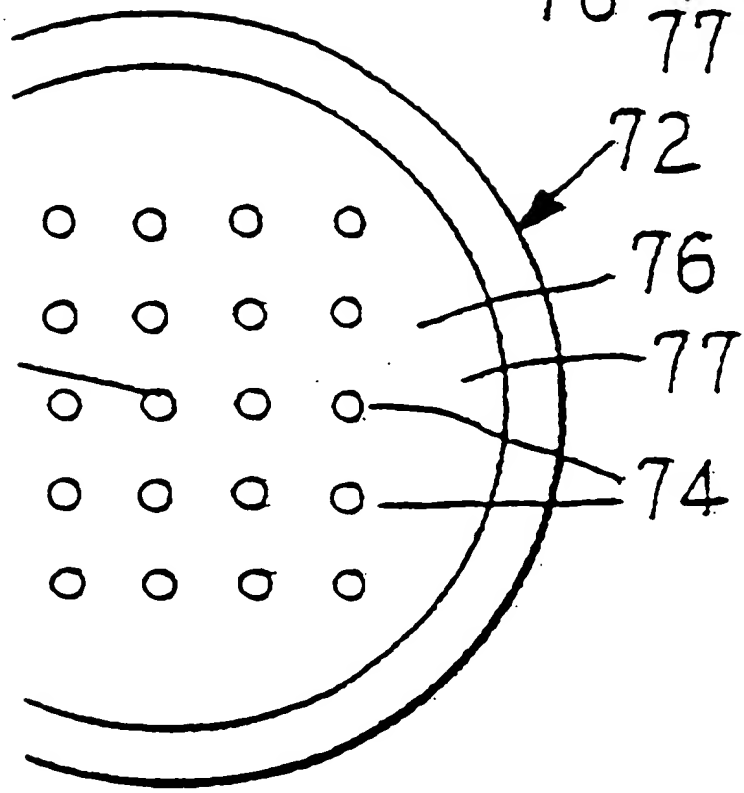
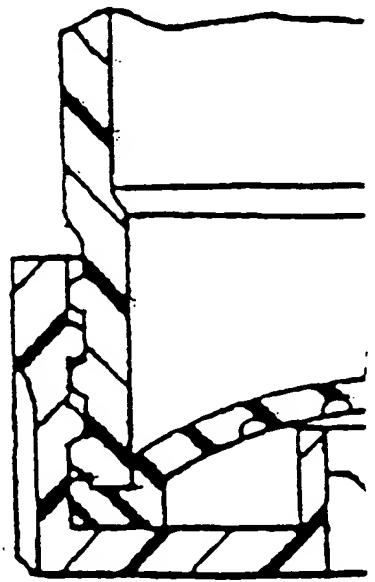


FIG. 16

72

FIG. 20

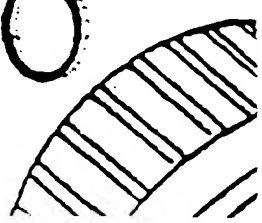


FIG. 2A

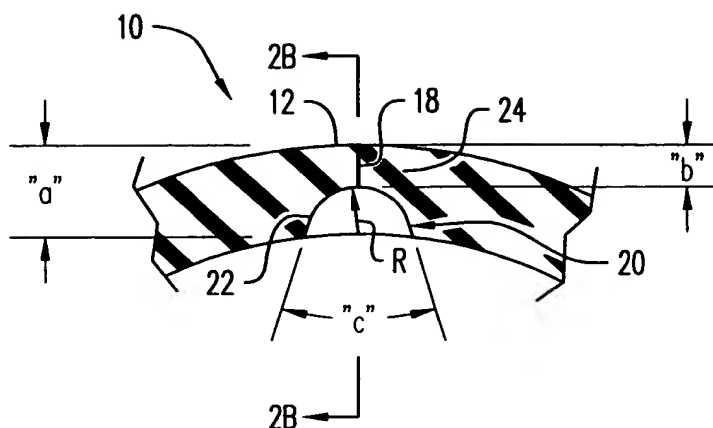


FIG. 2B

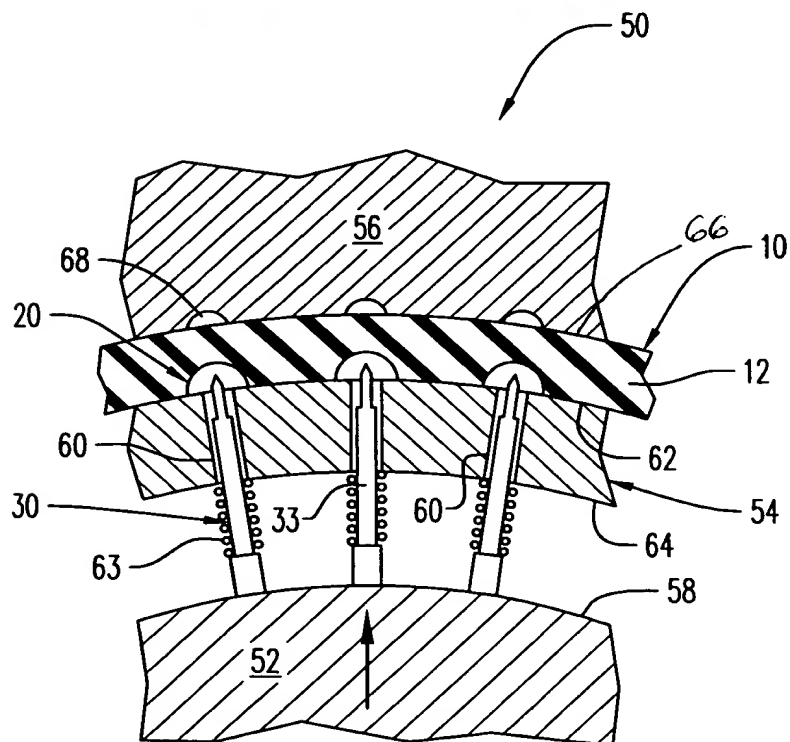
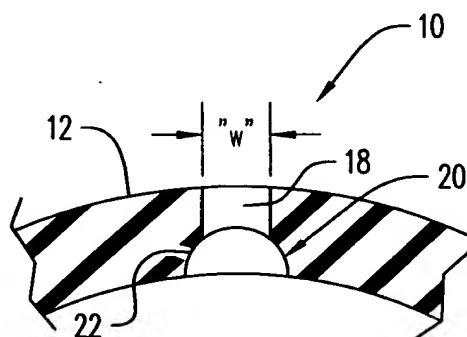


FIG. 4

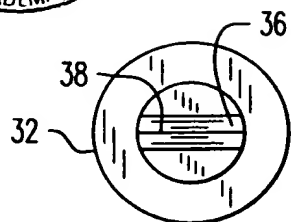


FIG. 3B

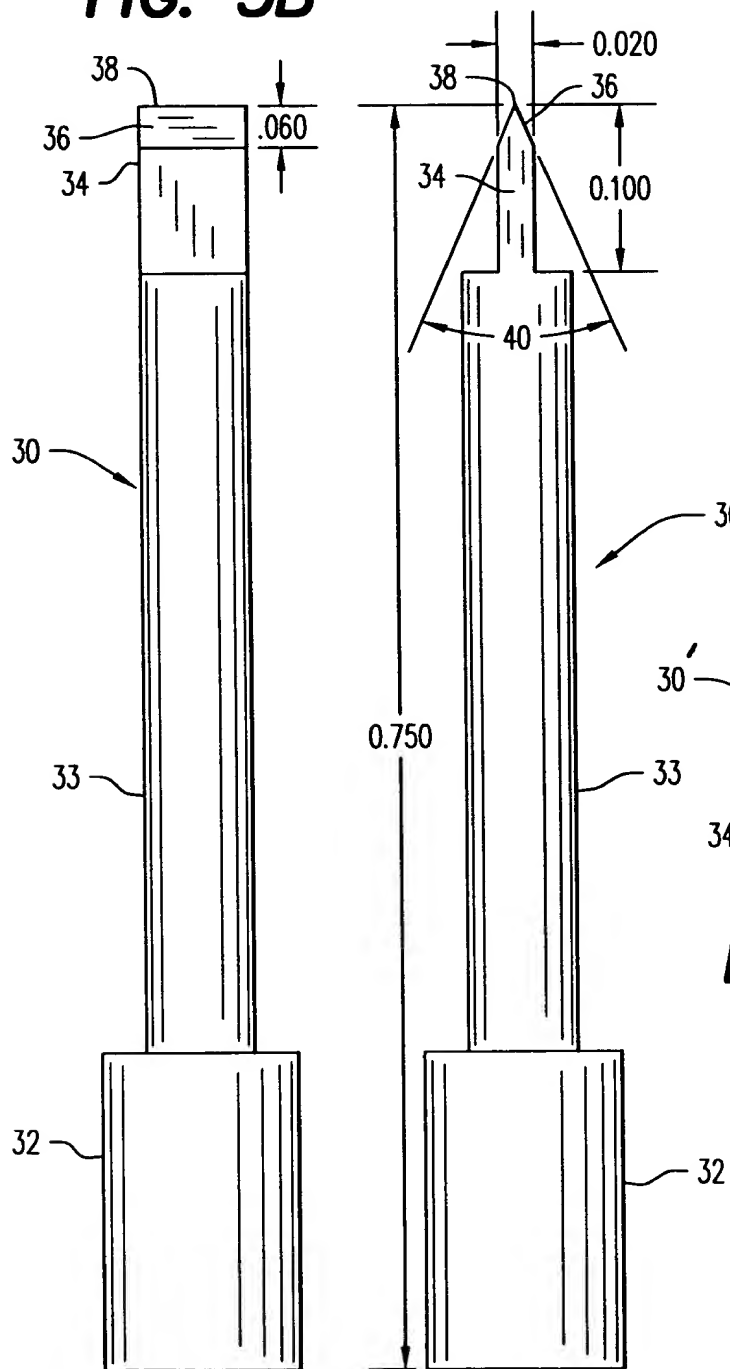


FIG. 3

FIG. 3A

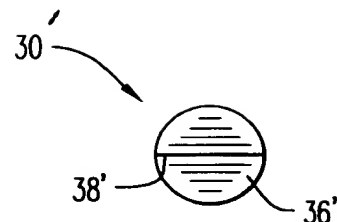


FIG. 3D

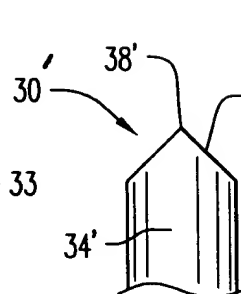


FIG. 3E

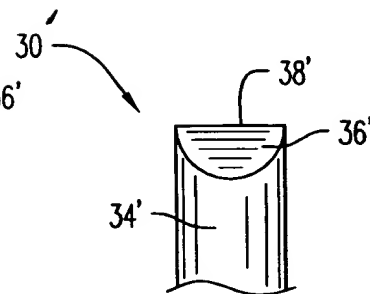


FIG. 3C

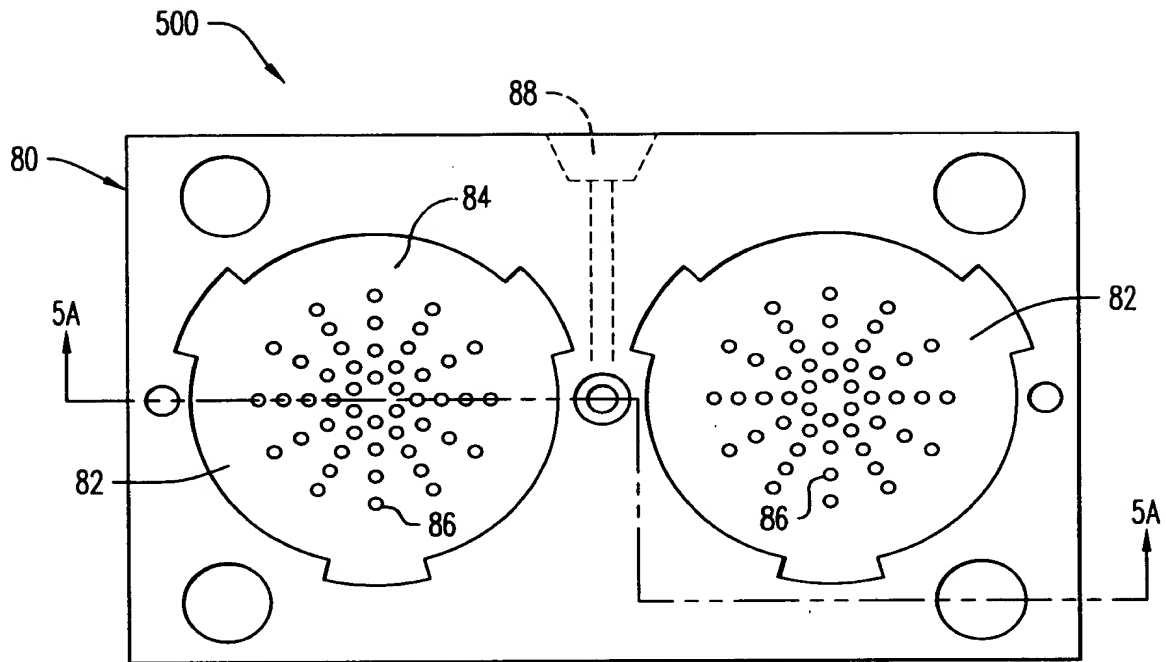


FIG. 5

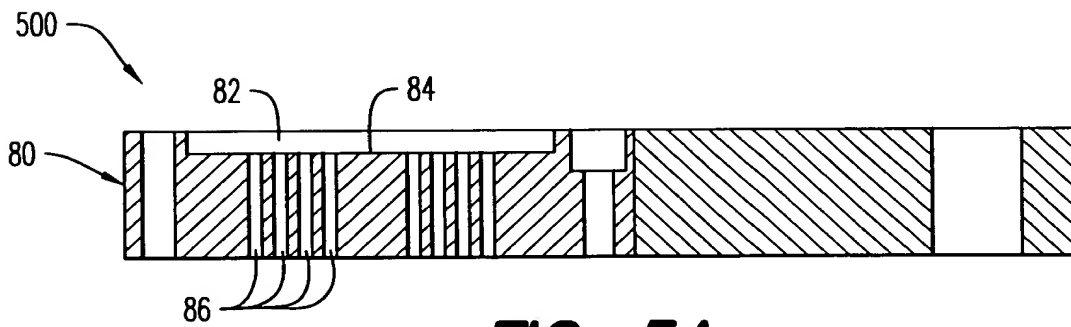


FIG. 5A